

# 保持个体活性的改进 FA 算法

陆克中<sup>1</sup>, 章哲庆<sup>1</sup>, 孙俊<sup>2</sup>

(1. 池州学院计算机科学系, 安徽池州 247100; 2. 江南大学物联网学院, 江苏无锡 214021)

**摘要:** 在对基本 FA 算法进行分析的基础上, 指出 FA 算法存在全局搜索能力不足, 以及因聚集而早熟收敛现象。为克服 FA 算法的不足, 提出了保持个体活性的改进 FA(IFA)算法, 分别从  $\gamma$  值自适应调节、过程萤火虫位置更新、聚集萤火虫重新激活以及最优个体的局部处理等多个方面对基本 FA 算法进行了改进。通过在 10 个基准测试函数上的测试, 并与基本 FA 算法、PSO 算法、ABC 算法和其他改进 FA 算法进行对比, 实验结果表明, 改进的 IFA 算法能够很好地保持种群的多样性, 具有较快的收敛速度与较好的求解精度, 适合复杂函数优化问题。

**关键词:** 群智能; 萤火虫算法; 多样性; 函数优化

**中图分类号:** TP18      **文献标识码:** A      doi:10.3969/j.issn.0253-2778.2016.02.00

**引用格式:** Lu Kezhong, Zhang Zheqing, Sun Jun. Improving firefly algorithm by keeping individual activity[J].

Journal of University of Science and Technology of China, 2016, 46(2):120-129.

陆克中, 章哲庆, 孙俊. 保持个体活性的改进 FA 算法[J]. 中国科学技术大学学报, 2016, 46(2): 120-129.

## Improving firefly algorithm by keeping individual activity

LU Kezhong<sup>1</sup>, ZHANG Zheqing<sup>1</sup>, SUN Jun<sup>2</sup>

(1. Department of Computer Science, Chizhou University, Chizhou 247100, China;

2. School of IoT Engineering, Jiangnan University, Wuxi 214021, China)

**Abstract:** There are some disadvantages in the basic firefly algorithm(FA), such as low solving precision, premature convergence and etc. To overcome these disadvantages, a novel improved FA (IFA) was proposed that keeps individual activity. Firstly, an adaptive control for gamma value was designed by using swarm distance. Secondly, a position calculation for fireflies was updated by using the search process information. Thirdly, a special mutation for the firefly swarm was executed to activate individuals and to make them explore the search space when losing activity. Finally, a perturbation and local search method for the best individual was proposed. Based on ten multi-model test functions, the test results show that the IFA has a better convergence speed and precision than the basic FA, PSO, ABC and other improved FA. The improved FA is a good method for complex function optimization.

**Key words:** swarm intelligence; firefly algorithm; diversity; function optimization

## 0 引言

近年来,模拟自然界特点的自然计算方法得到了长足发展。最近,剑桥大学的 Yang<sup>[1]</sup>受萤火虫利用自身荧光传递信息这种群体行为的启发,提出了一种新颖的群智能优化算法——萤火虫算法(firefly algorithm, FA)。FA 算法与其他自然计算方法相似,是基于群体的优化搜索算法,无需梯度信息,具有很强的并行性与通用性。另外,FA 算法具有结构简单、调节参数少、易于操作实现等特点,因而自提出以来,就得到了国内外学者的较大关注,并在函数优化<sup>[2]</sup>、经济调度<sup>[3]</sup>、图像处理<sup>[4]</sup>、证券投资<sup>[5]</sup>、聚类分析<sup>[6]</sup>、自动控制<sup>[7]</sup>等领域得到了应用。

FA 算法提出时间较晚,不论是理论基础,还是算法设计,尚处在初期阶段,还有很大的发展空间。文献[8]指出,FA 算法存在早熟收敛、后期收敛速度慢、求解精度较低等缺点。为了克服这些缺点,国内外学者对 FA 算法进行了有益的改进,取得了一些研究成果。文献[9]运用混沌映射产生均匀分布的萤火虫初始位置,获得质量较好的初始解,并在搜索过程中对适应值低的部分萤火虫进行混沌扰动,以保持群体活性,减小陷入局部最优的可能性。文献[10]应用混沌映射产生初始萤火虫个体,并在搜索过程中,依据最优个体利用混沌映射生成多个新的个体,随机替换萤火虫群体中等量个体,以保持种群的多样性。文献[11]应用多种混沌映射技术,分别对光吸收系数与吸引度进行混沌调节,实验结果显示,混沌调节有利于提升 FA 算法的全局搜索能力。文献[12]利用莱维飞行(L'evy flights)的随机性与各向同性,用莱维飞行来改写 FA 算法中的局部随机搜索部分,能有效提高算法的搜索精度。文献[13]提出离散 FA 算法,用于解决离散优化问题。还有的文献<sup>[14-15]</sup>将 FA 算法与其他自然计算方法相混合,形成混合优化算法,通过取长补短提高了整个算法的性能。

本文在对基本 FA 算法进行分析的基础上,分别从  $\gamma$  值自适应调节、过程萤火虫位置更新、聚集萤火虫重新激活以及对最优个体的处理等多个方面,对 FA 算法进行了改进,以保持群体活性,增强 FA 算法的局部与全局搜索能力。

## 1 基本 FA 算法

2008 年 Yang 模拟自然界萤火虫发光模式与信

息交换行为,提出了 FA 算法。为使算法简单、实用,使用了以下 3 个理想化规则:①萤火虫不分雌雄;②萤火虫的吸引度与自身的荧光亮度成正比,且萤火虫间的相互吸引随着距离的增加而下降;③萤火虫的荧光亮度取决于问题的目标函数。

根据上面的规则可知,荧光亮度和吸引度是 FA 算法中的两个关键因素。假设萤火虫的群体规模为  $m$ ,问题空间为  $d$  维,第  $i$  只萤火虫在  $d$  维空间中的位置表示为  $\mathbf{x}_i = (x_{i1}, x_{i2}, \dots, x_{id})$ 。

### 定义 1 荧光亮度

$$I = I_0 e^{-\gamma r} \quad (1)$$

式中,  $\gamma$  为光强吸收因子,表示荧光亮度受传播距离与传播媒介的影响而变化的特性,理论上  $\gamma \in [0, \infty)$ ,但在实际应用中,  $\gamma = O(1)$ ,常取  $[0.01, 100]$  之间的某一常数。 $I_0$  为萤火虫的最大荧光亮度,即为  $r = 0$  处的自身荧光亮度,取决于需要寻优的目标函数值,一般用式(2)表示:

$$I_0 = f(\mathbf{x}) \quad (2)$$

式中,  $f$  为待优化函数,  $\mathbf{x}$  为某一萤火虫的空间位置向量; $f(\mathbf{x})$  越好则  $I_0$  就越高。 $r$  表示两只萤火虫之间的空间距离,一般用式(3)的欧式距离表示:

$$r_{ij} = \| \mathbf{x}_i - \mathbf{x}_j \| = \sqrt{\sum_{k=1}^d (x_{i,k} - x_{j,k})^2} \quad (3)$$

### 定义 2 吸引度

$$\beta = \beta_0 e^{-\gamma r^2} \quad (4)$$

式中,  $\beta_0$  为最大吸引度,即光源( $r=0$  处)的吸引度,通常设定为 1; $\gamma, r$  的意义同定义 1。

### 定义 3 位置更新公式

$$\mathbf{x}_i(t+1) = \mathbf{x}_i(t) + \beta(\mathbf{x}_j(t) - \mathbf{x}_i(t)) + \alpha \mathbf{e}_i \quad (5)$$

上式表示的是萤火虫  $i$  受萤火虫  $j$  的吸引而发生位置改变。式中,  $t$  为迭代次数,  $x_i$  与  $x_j$  分别表示萤火虫  $i$  与  $j$  的空间位置;  $\beta$  表示萤火虫  $j$  对萤火虫  $i$  的相对吸引度;  $\alpha$  为步长因子,一般按照式(6)进行变化; $\mathbf{e}_i$  是一个服从高斯分布或均匀分布的随机向量,其简化形式为  $\text{rand}-1/2$ ,  $\text{rand}$  为  $[0, 1]$  内服从均匀分布的随机数。

$$\alpha = \alpha' * \text{delta}^t \quad (6)$$

式中,  $\alpha'$  为初始步长因子,  $\text{delta} \in (0, 1]$ ,  $t$  为迭代次数。

求解最大值的算法流程描述如下:

生成初始萤火虫群体  $\{ \mathbf{x}_i, i=1, 2, \dots, n \}$ ;

由式(1)计算萤火虫  $i$  的荧光亮度  $I_i$

设置参数  $\gamma, \beta_0$  和最大迭代次数  $T_{\max}$

```

while(t<Tmax)
for i=1:n
  for j=1:n
    if(Ij>Ii)
      由式(3)计算 xi, xj之间的距离 rij
      由式(4)计算 xj对 xi的吸引度 β
      由式(5)计算 xi的新位置
    end if
  end for j
end for i
确定最优萤火虫个体,并且 t++
end while

```

## 2 FA 算法分析

由式(4)的吸引度表达式可知,当  $\gamma=1, r>2$  时,  $e^{-r^2} \rightarrow 0$ , 故而  $\beta \rightarrow 0$ , 代入式(5), 有

$$\begin{aligned} x_i(t+1) &= x_i(t) + \beta(x_j(t) - x_i(t)) + \alpha e_i \approx \\ &x_i(t) + \alpha e_i \end{aligned} \quad (7)$$

当  $\gamma=1, r<0.2$  时,  $e^{-r^2} \rightarrow 1$ . 故而  $\beta \rightarrow \beta_0$ , 代入式(5), 有

$$\begin{aligned} x_i(t+1) &= x_i(t) + \beta(x_j(t) - x_i(t)) + \alpha e_i \Rightarrow \\ x_i(t+1) &\approx x_i(t) + \beta_0(x_j(t) - x_i(t)) + \alpha e_i \Rightarrow \\ x_i(t+1) &\approx \beta_0 x_j(t) + (1 - \beta_0) x_i + \alpha e_i \end{aligned}$$

由于  $\beta_0$  通常设定为 1, 所以上式可化简为

$$x_i(t+1) \approx x_j(t) + \alpha e_i \quad (8)$$

当  $r>2$  时, 即萤火虫  $i$  和  $j$  相距比较远时, 由式(7) 可知, 萤火虫  $j$  对  $i$  的吸引非常小, 这时萤火虫  $i$  的位置改变(即搜索), 变换为在自身周边进行局部随机搜索. 当  $r<0.2$  时, 即萤火虫  $i$  和  $j$  相距比较近时, 由式(8) 可知, 萤火虫  $i$  被萤火虫  $j$  所吸收, 这时萤火虫  $i$  的位置改变(即搜索), 变换为在萤火虫  $j$  周边进行局部随机搜索.

对于  $\gamma \neq 1$  的情况,  $\gamma$  影响萤火虫  $j$  对萤火虫  $i$  的吸引范围. 相比  $\gamma=1$  时的情况, 当  $\gamma>1$  时, 其值越大, 则萤火虫  $j$  的吸引范围就越小; 当  $\gamma<1$  时, 其值越小, 则萤火虫  $j$  的吸引范围就越大.

由上面分析可知, 当萤火虫相对分散(即距离比较远)时, FA 搜索退化为局部随机搜索, 丧失全局搜索能力. 要想增加全局搜索能力, 需要对光强吸收因子  $\gamma$  进行调节. 另外, 由 FA 算法可知, 萤火虫个体搜索, 就是向其周边较优个体靠近, 这势必造成萤火虫群体局部聚集. 一旦萤火虫群体发生了局部聚集, 萤火虫个体就趋同于局部最优个体, 丧失了单个

个体的活性. 如果局部最优是全局极值, 则能获得全局最优解, 但更多的时候, 局部最优不一定是全局最优, 这样就导致 FA 算法早熟收敛.

下面使用式(9)的四峰函数, 来直观地分析 FA 算法的寻优过程.

$$f(x) = e^{-(x-4)^2 - (y-4)^2} + e^{-(x+4)^2 - (y-4)^2} + 2e^{-(x-4)^2 - (y+4)^2} + 2e^{-(x+4)^2 - y^2} \quad (9)$$

如图 1 所示, 四峰函数存在 4 个极大值, 坐标分别是  $(0, -4), (0, 0), (-4, 4), (4, 4)$ , 对应的极值分别为  $2, 2, 1, 1$ .

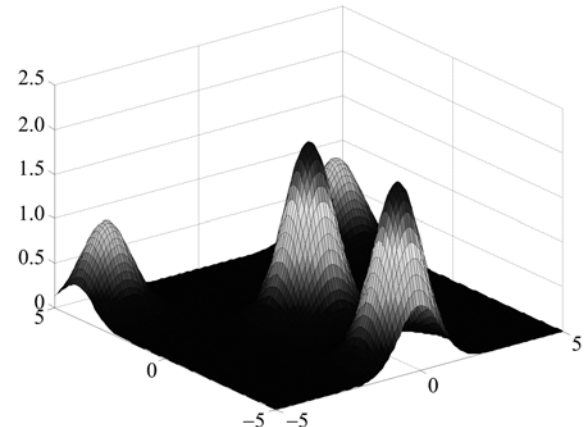


图 1 四峰函数

Fig. 1 Four peaks function

利用标准 FA 算法, 对四峰函数进行优化处理. 其中  $\alpha'=0.2$ , 群体规模  $m=30$ , 最大迭代次数  $T_{\max}=100$ .

第一种情况, 设定  $\gamma=1$ ,  $x$  与  $y$  范围为  $[-5, 5]$ , 结果如图 2 所示. 从图中可以看出, 萤火虫个体在其邻域范围内各自收敛到 4 个极值点.

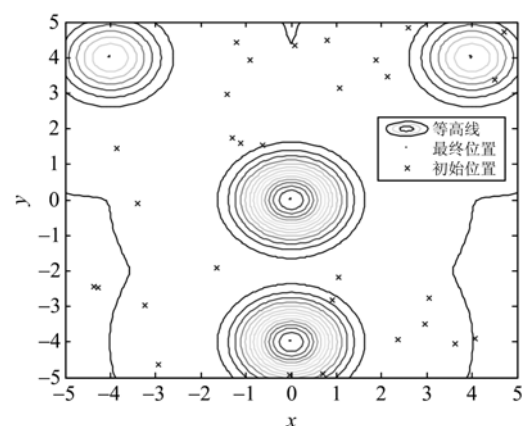


图 2 第一种情况萤火虫位置变化图

Fig. 2 The fireflies' positions shift in 1st case

第二种情况, 设定  $\gamma=0.1$ ,  $x$  与  $y$  范围为  $[-5,$

5],结果如图 3 所示. 这里  $\gamma$  值比第一种情况要小, 这样萤火虫的吸引范围就越大, 结果所有萤火虫个体都收敛到中间极值点.

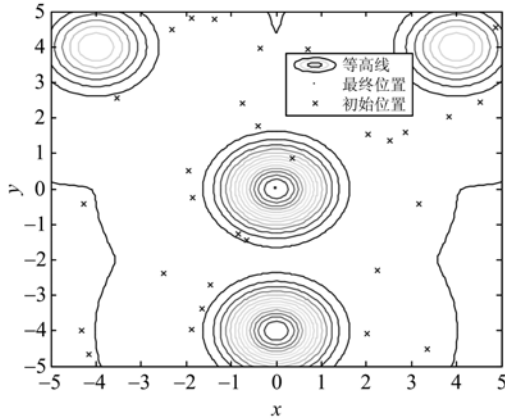


图 3 第二种情况萤火虫位置变化图

Fig. 3 The fireflies' positions shift in 2nd case

第三种情况, 设定  $\gamma=0.01$ ,  $x$  与  $y$  范围  $[-100, 100]$ , 结果如图 4 所示. 尽管这里  $\gamma$  值已经比较小了, 但是由于搜索区间变得比较大, 致使萤火虫之间的距离  $r$  仍然比较大, 结果 FA 算法搜索退化成如式(7)那样, 在萤火虫个体周边做随机搜索, 算法难以收敛.

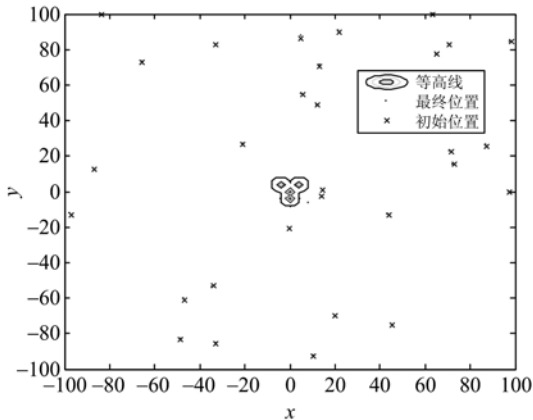


图 4 第三种情况萤火虫位置变化图

Fig. 4 The fireflies' positions shift in 3rd case

第四种情况, 设定  $\gamma=1$ ,  $x$  与  $y$  初始范围为  $[0, 5]$ , 求解范围为  $[-5, 5]$ , 结果如图 5 所示. 萤火虫群体, 受初始范围影响, 向较好的个体靠近, 最终聚集到右上角局部最优点而无法自拔.

### 3 保持个体活性的改进 FA 算法

#### 3.1 自适应 $\gamma$ 调节

由前面的吸引度  $\beta=\beta_0 e^{-\gamma r^2}$  分析可知,  $\gamma$  值对萤

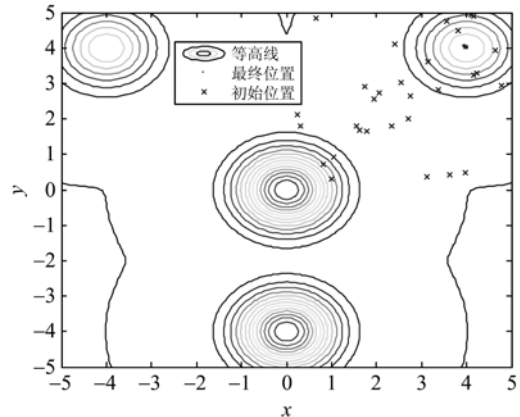


图 5 第四种情况萤火虫位置变化图  
Fig. 5 The fireflies' positions shift in 4th case

火虫个体之间的相互吸引起到很大的调节作用. 如果  $\gamma$  值设置不当, 则对 FA 算法的搜索性能影响很大. 如何设置  $\gamma$  值, 标准 FA 算法只是给出了建议, 建议  $\gamma$  值设置在  $[0.01, 100]$  区间, 通常设置为 1. 这种建议对求解区域比较小的时候还适用, 如图 2 和 3 那样, 但是对于求解空间比较大的情况, 特别是高维空间函数求解时, 萤火虫个体之间的距离一般非常大, 这时采用建议的区间对  $\gamma$  取值就会造成  $e^{-\gamma r^2} \rightarrow 0$ , 由式(7)可知, FA 算法退化为局部随机搜索算法, 效果如图 4 所示. 当  $\gamma=1$ ,  $r \in [0.2, 2]$  时, 由  $e^{-\gamma r^2}$  的图像可知,  $e^{-\gamma r^2}$  有较好的调节效果, 由此得到  $\gamma$  为任意值,  $\gamma r^2 \in [0.04, 4]$ , 令  $\gamma_0 = \gamma r^2$ , 则有

$$\gamma = \gamma_0 / r^2, \gamma_0 \in [0.04, 4] \quad (10)$$

式中,  $r$  为萤火虫群体距离, 可设为当前代数中最差萤火虫位置与最优萤火虫位置之间的距离. 这样,  $\gamma$  的值不同于标准 FA 中那样设置一个固定值, 而是根据萤火虫群体的进化而自适应变化, 当群体距离比较大时,  $\gamma$  值就变小, 反之  $\gamma$  值就变大, 以保持萤火虫群体间的相互吸引, 起到增强 FA 全局搜索能力的作用.

#### 3.2 位置更新

在标准的 FA 算法中, 每一次迭代中, 萤火虫  $i$  向其他萤火虫选择靠近时, 算法仅仅根据式(5)改变萤火虫  $i$  的位置, 并没有重新计算改变位置后萤火虫  $i$  的荧光亮度  $I_i$ , 结果造成萤火虫  $i$  通过迭代快速地向其作用范围内的最优萤火虫个体靠拢, 这样就造成过程中萤火虫位置信息没有被利用, 既不利于局部搜索, 也因为快速收敛而易于早熟收敛, 如图 5 所示. 为此, 我们在每一次迭代过程中, 保存萤火虫  $i$  的新位置, 并计算其对应的荧光亮度. 在对萤

火虫  $i$  的每次迭代结束之后, 取迭代中搜寻到的最亮萤火虫  $i$  位置来更新当前萤火虫  $i$ . 部分流程如下:

```

for i=1:n
    for j=1:n
        if(Ij>Ii)
            由式(3)计算  $x_i, x_j$  之间的距离  $r_{ij}$ .
            由式(4)计算萤火虫  $x_j$  对  $x_i$  的吸引度  $\beta$ .
            由式(5)计算萤火虫  $x_i$  新位置.
            保存萤火虫  $x_i$  的新位置于向量  $x_{i0}$ , 并计算其对应的
            荧光亮度.
            end if
        end for j
        用向量  $x_{i0}$  中最亮的萤火虫代替萤火虫  $x_i$ .
    end for i

```

### 3.3 保持个体活性

由上面分析知, 标准 FA 算法在搜索过程中因趋同于局部较优的萤火虫, 易于发生聚集现象. 一旦聚集, 则萤火虫个体因趋同于局部最优个体而失去了个体活性, 致使算法搜索能力大为降低, 如图 5 所示. 故此, 对聚集的个体, 需要采用策略来增强个体的活性. 这里, 我们通过比较萤火虫之间的距离来判定, 当二者的距离小于一给定  $\epsilon$  值时, 则判定为聚集, 需要激活. 这里, 我们利用式(5), 通过增大  $\alpha$  的值(给定一个较大值  $\alpha_0$ ), 让荧光亮度值较低的个体做较大尺度的变异操作, 改变趋同性问题. 操作如下:

```

if  $r_{ij} < \epsilon$ 
     $x_i(t+1) = x_i(t) + \beta(x_j(t) - x_i(t)) + \alpha_0 \epsilon_i$ 
else
     $x_i(t+1) = x_i(t) + \beta(x_i(t) - x_i(t)) + \alpha \epsilon_i$ 

```

### 3.4 对最优个体的处理

在标准 FA 算法中, 最优个体没有作任何处理, 这样导致最优个体自身进化停滞, 不利于算法的进一步细化收敛. 文献[8]给出在最优个体附近随机操作的方法, 来提高最优个体的进化. 这种方法有一定的效果, 但由于是随机的变化, 缺乏启发信息. 由前分析知, 最优个体附近易于聚集更多的萤火虫个体, 并且个体的进化主要靠周边个体间的相互吸引而进行. 如果采用上面保持个体活性的方法, 个体的活性增强了, 但是由于最优个体附近个体很少, 使得最优个体的细化非常慢, 甚至停滞不前. 为此, 本文在最优个体附近保留一定量萤火虫个体, 利用这些个体之间的信息交换来对最优个体位置进行微调, 对周

边其他个体仍然进行活性增强操作, 同时对每一代的最优个体按式(11)进行高斯扰动, 以帮助其跳出局部极值点, 提高算法全局搜索能力<sup>[10]</sup>.

$$x_n = x_g * (1 + \text{Gaussian}(\delta)) \quad (11)$$

$$x_g = \begin{cases} x_n, & \text{if } f(x_n) < f(x_g) \\ x_g, & \text{others} \end{cases} \quad (12)$$

式中,  $x_g$  为最优个体位置,  $x_n$  为扰动后的位置.

## 4 实验结果与分析

为了检验本文提出的保持个体活性的改进萤火虫算法(IFAA)性能, 选取 10 个标准测试函数进行了实验仿真, 并与基本萤火虫算法(FA)、混沌萤火虫算法(CDFA)<sup>[9]</sup>、粒子群算法(PSO)<sup>[16]</sup>和人工蚁群算法(ABC)<sup>[17]</sup>进行了对比.

### 4.1 实验参数设置

所有测试函数的维数  $d=30$ , 群体规模  $m=30$ , 最大迭代次数  $T_{\max}=2000$ . 萤火虫算法中  $\gamma=1.0$ ,  $\beta_0=1.0$ ,  $\alpha'=2$ ,  $\text{delta}=0.99$ , 另外改进的 IFA 算法中  $\gamma_0=4$ ,  $\alpha_0=100$ , 最优个体附近保留群规模  $1/4$  的个体. PSO 算法中  $c1=c2=2$ , 权重  $w$  从 0.9 到 0.4 线性变化. ABC 算法中, 群体规模  $NP=60$ , 其中观察蜂与雇佣蜂各占 50%, 勘察蜂的  $\text{limits}=100$ . 各算法的适应度值取为测试函数的值, 每个函数独立运行 50 次.

### 4.2 测试函数

10 个标准测试函数被使用. 这些函数均为复杂的非线性多峰测试函数, 存在大量的局部极值区域, 可有效检验算法的群体多样性、全局搜索性能、逃离局部极值并避免早熟的能力. 具体函数内容参见表 1.

### 4.3 结果分析

表 2 给出了不同算法对 10 个测试函数的最优值、最差值、中间值、平均值与标准差. 从表中可以看出, FA 算法的中值在函数  $f_1, f_2, f_7, f_8$  和  $f_9$  上要优于 PSO 算法, 在函数  $f_1, f_8$  和  $f_{10}$  上要优于 ABC 算法, 这体现了基本 FA 算法具有良好的整体优化性能, 但与其他群智能算法一样, 也存在早熟收敛等情况, 特别是在函数  $f_4, f_5$  和  $f_6$  上优化效果更差. FA 算法在均值方面的统计效果远不如在中值方面, 从标准差的变化上也可以看出来, FA 算法的标准差一般比较大, 即算法优化效果的波动性比较大. 有如前面的分析, 由于 FA 算法参数自适应比较差, 影响群体之间的相互吸引, 若群体中存有个体靠近

表 1 测试函数  
Tab. 1 Benchmark functions

No.	名称	定义	维数	范围	理论值
$f_1$	Quadric	$f_1 = \sum_{i=1}^d (\sum_{j=1}^i x_j)^2$	30	$[-100, 100]$	0
$f_2$	Tablet	$f_2 = 10^6 x_i^2 + \sum_{i=2}^d x_i^2$	30	$[-100, 100]$	0
$f_3$	Schaffer	$f_3 = \sum_{i=1}^{d-1} (x_i^2 + x_{i+1}^2)^{0.25} \times [\sin(50 \times (x_i^2 + x_{i+1}^2)^{0.1} + 1)]$	30	$[-2.408, 2.408]$	0
$f_4$	Schwefel	$f_4 = 418.9829 d - \sum_{i=1}^d x_i \sin( x_i ^{1/2})$	30	$[-500, 500]$	0
$f_5$	Griewank	$f_5 = \frac{1}{4000} \sum_{i=1}^d x_i^2 - \prod_{i=1}^d \cos(x_i / \sqrt{i}) + 1$	30	$[-600, 600]$	0
$f_6$	Rastrigin	$f_6 = \sum_{i=1}^d (x_i^2 - 10 \cos 2\pi x_i + 10)$	30	$[-5.12, 5.12]$	0
$f_7$	Rosenbrock	$f_7 = \sum_{i=1}^n [100 (x_{i+1} - x_i^2)^2 + (x_i - 1)^2]$	30	$[-50, 50]$	0
$f_8$	Sphere	$f_8 = \sum_{i=1}^d x_i^2$	30	$[-100, 100]$	0
$f_9$	Ackly	$f_9 = -20 e^{-0.2 \sqrt{\sum_{i=1}^d x_i^2 / d}} - e^{\sum_{i=1}^d \cos(2\pi x_i) / d} + 20 + e$	30	$[-32, 32]$	0
$f_{10}$	Zakharov	$f_{10} = \sum_{i=1}^d x_i^2 + (\sum_{i=1}^d 0.5 i x_i)^2 + (\sum_{i=1}^d 0.5 i x_i)^4$	30	$[-5, 10]$	0

表 2 改进 FA 与其他算法的性能对比  
Tab. 2 Performance comparison between IFA and other algorithms

函数	算法	最小	最大	中间值	均值	标准差
Quartic	FA	2.69e01	2.48e03	2.52e02	4.20e02	5.17e02
	IFA	<b>1.54e-33</b>	<b>1.52e-16</b>	<b>3.54e-25</b>	<b>3.96e-18</b>	<b>2.18e-17</b>
	PSO	8.95e02	5.01e03	2.4e03	2.5e03	9.50e02
	ABC	3.06e03	9.92e03	7.50e03	7.02e03	1.82e03
	CDFA <sup>[9]</sup>	4.5e-11	7.5e-09	6.6e-10	1.3e-09	1.4e-09
Tablet	FA	4.13e-16	3.93e02	1.27e-05	9.69	5.65e01
	IFA	<b>2.68e-49</b>	<b>1.55e-40</b>	<b>1.34e-44</b>	<b>4.07e-42</b>	<b>2.21e-41</b>
	PSO	2.09e-06	4.83e-04	4.79e-05	7.99e-05	8.88e-05
	ABC	4.84e-16	7.08e-14	9.20e-16	2.44e-15	9.89e-15
	CDFA <sup>[9]</sup>	2.2e-26	1.6e-23	2.5e-24	3.9e-24	4.7e-24
Schaffer	FA	10.41	27.94	19.63	19.47	4.25
	IFA	3.29e-13	<b>1.08e-05</b>	<b>6.62e-09</b>	<b>4.70e-07</b>	<b>1.71e-06</b>
	PSO	1.7407	12.348	4.9004	5.254	2.17
	ABC	8.72e-04	7.08e-03	3.28e-03	3.51e-03	1.61e-03
	CDFA <sup>[9]</sup>	<b>0</b>	9.15	0.29	1.53	2.27
Schwefel	FA	3.47e03	6.67e03	3.55e03	4.38e03	1.09e03
	IFA	<b>3.81e-04</b>	<b>5.51e-04</b>	<b>3.81e-04</b>	<b>3.85e-04</b>	<b>2.39e-05</b>
	PSO	2.02e03	5.37e03	3.39e03	3.48e03	7.34e02
	ABC	<b>3.81e-04</b>	1.18e02	3.81e-04	2.48	16.75

续表

函数	算法	最小	最大	中间值	均值	标准差
Griewank	FA	13.40	97.65	37.85	40.82	19.17
	IFA	<b>0</b>	<b>2.22e-16</b>	<b>0</b>	<b>2.22e-17</b>	<b>5.49e-17</b>
	PSO	1.89e-05	8.77e-02	1.01e-02	1.56e-02	1.95e-02
	ABC	2.22e-16	7.39e-03	1.53e-14	2.94e-04	1.35e-03
Rastrigin	CDFA <sup>[9]</sup>	<b>0</b>	6.7e-02	8.6e-03	1.3e-02	1.6e-02
	FA	29.84	108.45	50.74	53.17	16.24
	IFA	<b>0</b>	<b>0</b>	<b>0</b>	<b>0</b>	<b>0</b>
	PSO	21.96	62.47	37.80	39.01	9.25
Rosenbrock	ABC	<b>0</b>	9.23e-14	1.77e-15	5.15e-15	1.37e-14
	CDFA <sup>[9]</sup>	<b>0</b>	3.99	4.0e-12	0.58	1.08
	FA	14.73	1.29e03	27.39	1.00e02	2.36e02
	IFA	<b>3.76e-19</b>	<b>2.59</b>	<b>5.41e-04</b>	<b>07.27e-02</b>	<b>0.36</b>
Sphere	PSO	2.25e01	2.49e03	1.12e02	2.99e02	4.71e02
	ABC	1.10e-02	4.62	0.14	0.44	0.76
	CDFA <sup>[9]</sup>	2.3e-03	78.56	8.32	12.28	17.19
	FA	2.38e-17	28.08	4.27e-17	0.58	3.97
Ackly	IFA	<b>7.62e-88</b>	<b>3.04e-46</b>	<b>8.07e-60</b>	<b>9.80e-48</b>	<b>4.97e-47</b>
	PSO	1.025e-06	4.12e-04	5.60e-05	8.58e-05	9.20e-05
	ABC	4.66e-16	1.13e-15	7.42e-16	7.62e-16	1.33e-16
	FA	3.90e-09	2.1201	5.17e-09	0.51678	0.7502
Zakharov	IFA	<b>8.88e-16</b>	<b>4.43e-14</b>	<b>9.59e-16</b>	<b>1.19e-15</b>	<b>5.02e-15</b>
	PSO	6.04e-04	0.12	3.99e-03	1.07e-02	2.01e-02
	ABC	1.74e-13	7.89e-13	3.38e-13	3.63e-13	1.20e-13
	FA	6.2156	138.01	27.441	32.871	23.645
Zakharov	IFA	<b>1.61e-19</b>	<b>8.33e-15</b>	<b>4.14e-17</b>	<b>4.59e-16</b>	<b>1.55e-16</b>
	PSO	6.04	34.63	16.31	17.01	5.96
	ABC	1.38e02	3.07e02	2.46e02	2.40e02	3.19e01

最优解,则结果会变好,否则,结果就会较差,从而导致算法波动性较大.

本文提出的改进 IFA 算法,采用了多种控制策略,增强了算法的自适应能力与多样性控制能力,使得算法在 10 个测试函数上,均具有良好的搜索精度,特别是对于 PSO 与 ABC 等算法难以优化的  $f_1$ ,  $f_4$ ,  $f_7$  和  $f_{10}$  函数, IFA 算法也获得非常好的实验结果. 在已知的几个测试函数方面,本文提出的 IFA 算法同样优于文献[9]中提出的 CDFA 算法. 另外,实验结果的标准差进一步表明, IFA 算法具有较好的适应性与鲁棒性.

图 6~15 给出了 10 个测试函数的寻优曲线. 从图中可看出,基本 FA 算法优化趋势趋缓,特别是在算法中后期,往往呈直线状态,说明基本 FA 算法易于陷入局部最优而难以自拔,致使算法中后期优化停滞,算法的优化效果一般. 从 10 张图中可看出,本文提出的 IFA 算法比基本 FA 算法有着较快的下降速度,说明改进的算法寻优速度快,而且全局搜索

能力明显增强. 由于采取了  $\gamma$  值自适应调节、过程萤火虫位置更新、聚集萤火虫重新激活以及对最优个体的处理等多种策略, IFA 算法增强了群体的多样性与搜索能力,即使在搜索后期,也能寻找到正确的寻优方向,因而取得了良好的搜索效果. 从图上也能明显看出,改进的 IFA 算法在优化速度与优化精度上,也比经典的 PSO 与 ABC 算法来得好.

## 5 结论

萤火虫算法结构比较简单、易于实现,具有较好的寻优能力. 但基本 FA 算法受求解区域影响,对高维、大空间问题优化效果一般. 本文在对 FA 算法进行分析的基础之上,采用  $\gamma$  值自适应调节、过程萤火虫位置更新、聚集萤火虫重新激活以及对最优个体的处理等多种策略改进 FA 算法,提出保持个体活性的改进 FA 算法. 通过在 10 个基准测试函数上的测试,并与基本 FA 算法、其他改进 FA 算法,以

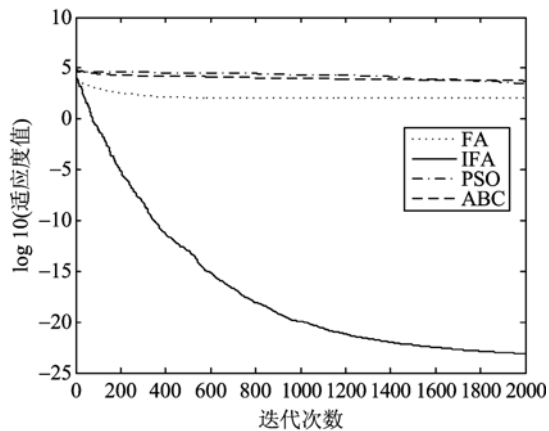


图 6 Quartic 函数收敛曲线

Fig. 6 Convergence process of Quartic function

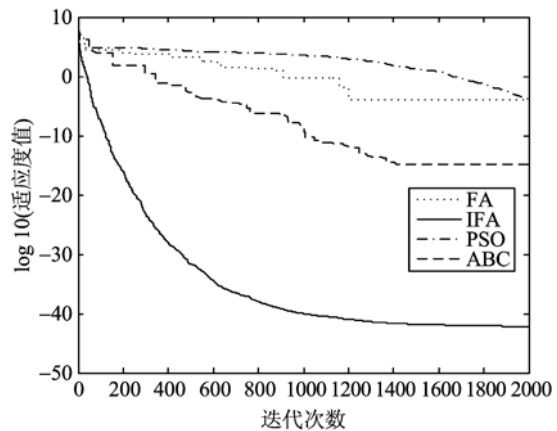


图 7 Tablet 函数收敛曲线

Fig. 7 Convergence process of Tablet function

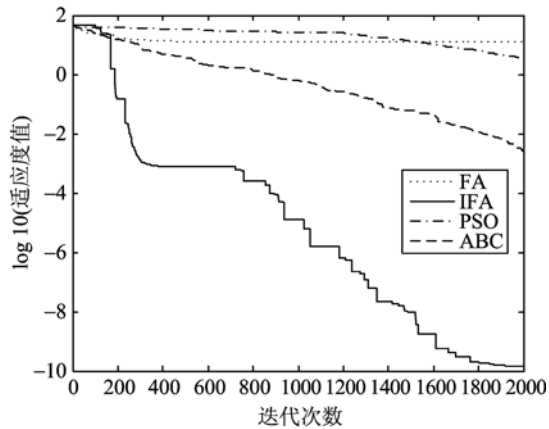


图 8 Schaffer 函数收敛曲线

Fig. 8 Convergence process of Schaffer function

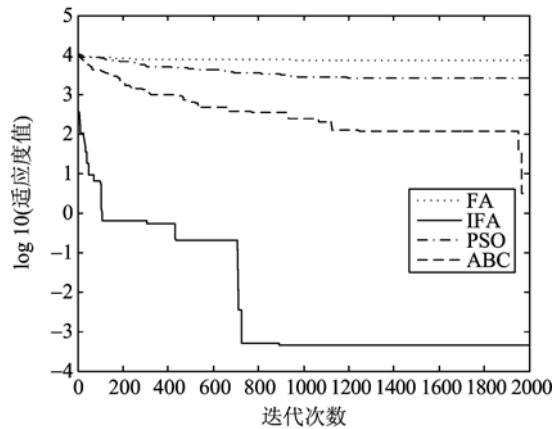


图 9 Schwefel 函数收敛曲线

Fig. 9 Convergence process of Schwefel function

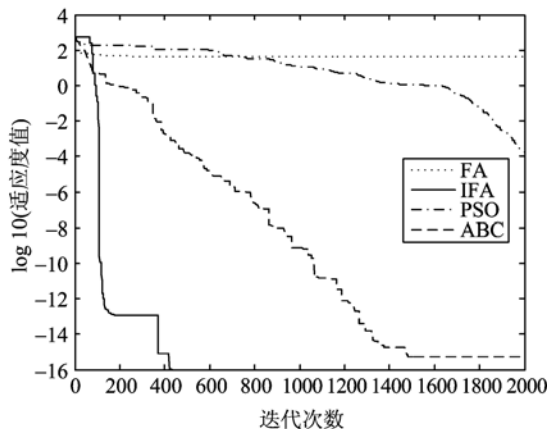


图 10 Griewank 函数收敛曲线

Fig. 10 Convergence process of Griewank function

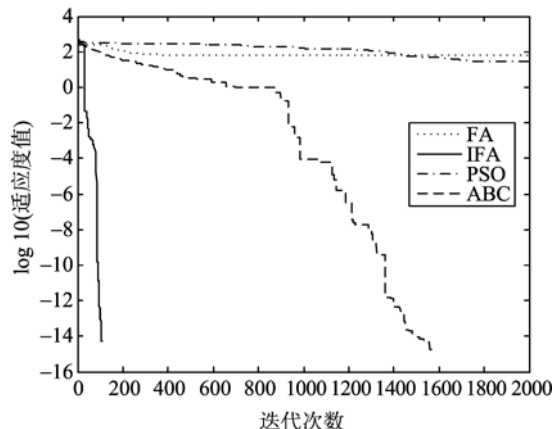


图 11 Rastrigin 函数收敛曲线

Fig. 11 Convergence process of Rastrigin function

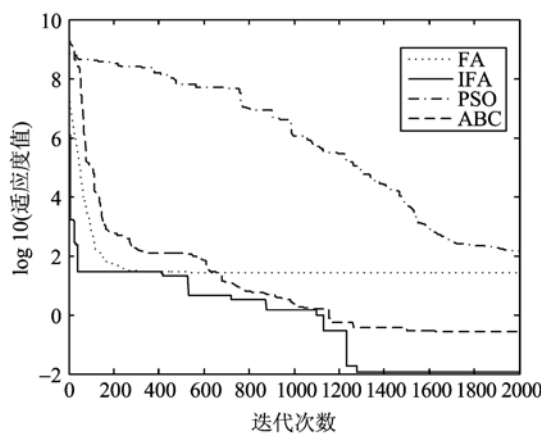


图 12 Rosenbrock 函数收敛曲线

Fig. 12 Convergence process of Rosenbrock function

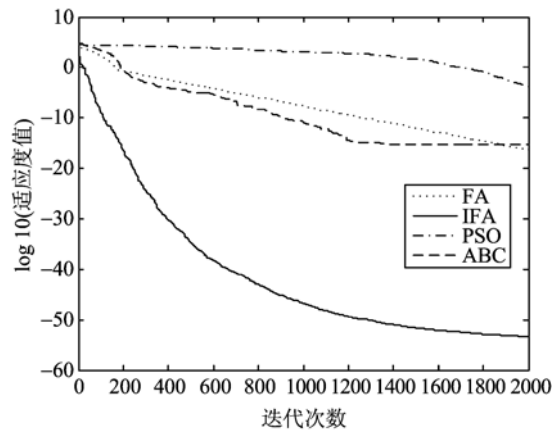


图 13 Sphere 函数收敛曲线

Fig. 13 Convergence process of Sphere function

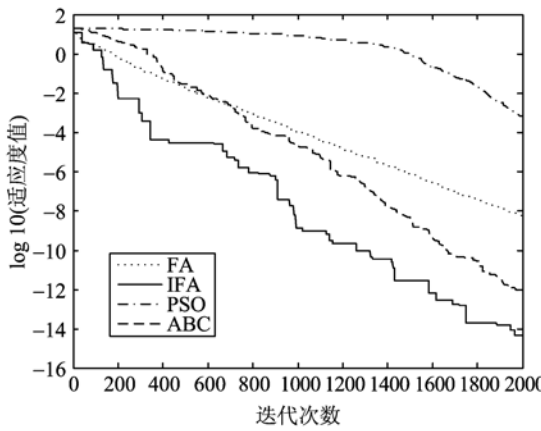


图 14 Ackly 函数收敛曲线

Fig. 14 Convergence process of Ackly function

及 PSO 与 ABC 算法进行对比, 仿真结果表明, 本文提出的 IFA 算法能够很好地保持种群的多样性, 具有较快的收敛速度与较好的求解精度, 而且算法的适应性与鲁棒性也比较好。

IFA 是在基本 FA 基础上改进而成的, 由于 FA 算法存在对两个个体之间的比较, 使得算法的时间复杂度比较高, 要高于传统的 PSO 算法, 与逐维改变的 ABC 算法相当, 因而 IFA 算法的时间复杂度也比较高, 特别是在改进的 IFA 算法中, 需要重新计算改变位置后新萤火虫的荧光亮度, 进一步增加了算法的时间复杂度。另外, 在 IFA 算法的后期, 寻优速度有所下降, 这也表明, 依据式(10)进行的参数调节方法以及  $\alpha_0$  的确定方法还存在调节空间。下一阶段, 我们一方面将致力于各参数的调节控制, 同时也将改进算法应用到实际工程优化问题中。

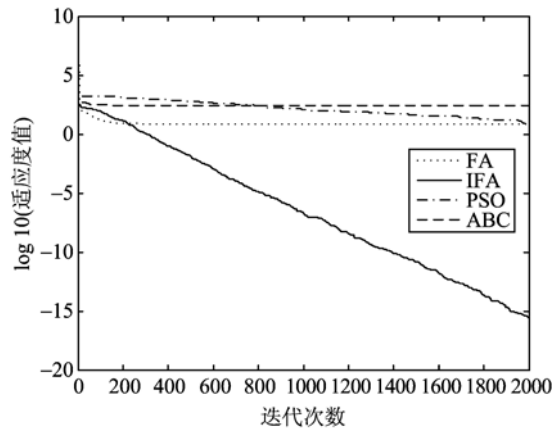


图 15 Zakharov 函数收敛曲线

Fig. 15 Convergence process of Zakharov function

#### 参考文献(References)

- [1] Yang X S. Nature-Inspired Metaheuristic Algorithms [M]. Beckington, UK: Luniver Press, 2008.
- [2] Yang X S. Multiobjective firefly algorithm for continuous optimization [J]. Engineering with Computers, 2013, 29:175- 184.
- [3] Yang X S, Hosseini S S S, Gandomi A H. Firefly Algorithm for solving non-convex economic dispatch problems with valve loading effect[J]. Applied Soft Computing, 2012, 12:1 180-1 186.
- [4] Horng M H. Vector quantization using the firefly algorithm for image compression[J]. Expert Systems with Applications, 2012, 39(1):1 078-1 091.
- [5] Kazem A, Sharifi E, Hussain F K, et al. Support vector regression with chaos-based firefly algorithm for stock market price forecasting [J]. Applied Soft Computing, 2013, 13(2): 947-958.

- [ 6 ] Senthilnath J, Omkar S N, Mani V. Clustering using firefly algorithm: Performance study [J]. Swarm and Evolutionary Computation, 2011, 1(3):164-171.
- [ 7 ] Coelho L D, Mariani V C. Firefly algorithm approach based on chaotic Tinkerbell map applied to multivariable PID controller tuning [J]. Computers & Mathematics with Applications, 2012, 64 (8): 2 371-2 382.
- [ 8 ] Łukasik S, Źak S. Firefly Algorithm for Continuous Constrained Optimization Tasks [C]// Proceedings of the 1st International Conference on Computational Collective Intelligence. Semantic Web, Social Networks and Multiagent Systems. Springer-Verlag Berlin Heidelberg, 2009:97-106.
- [ 9 ] Xu Huali, Su Shoubao, Yan Rengrong et al. A firefly algorithm with chaotic diversity control [J]. Journal of University of Science and Technology of China, 2014, 44(7):612-617.  
徐华丽,苏守宝,严仍荣,等.一种混沌多样性控制的萤火虫优化算法 [J].中国科学技术大学学报,2014, 44(7):612-617.
- [10] Feng yanHong, Liu Jianqin, He Yichao. Chaos-based dynamic population firefly algorithm [J]. Journal of Computer Applications, 2013, 33(3):796-799,805.  
冯艳红,刘建芹,贺毅朝. 基于混沌理论的动态种群萤火虫算法 [J]. 计算机应用, 2013, 33 (3): 796-799, 805.
- [11] Gandomi A H, Yang X S, Talatahari S. Firefly algorithm with chaos [J]. Commun Nonlinear Sci Numer Simulat, 2013, 18: 89-98.
- [12] Yang X S. Firefly Algorithm, L'evy Flights and Global Optimization [EB/OL]. (2010-03-07) [ 2014-12-01 ]. <http://arxiv.org/abs/1003.1464>.
- [13] Sayadi M K, Hafezalkotob A, Jalali S G. Firefly-inspired algorithm for discrete optimization problems: An application to manufacturing cell formation [J]. Journal of Manufacturing Systems, 2013, 32:78-84.
- [14] Aruchamy R, Vasantha K D. A comparative performance study on hybrid swarm model for micro array data [J]. International Journal of Computer Applications, 2011, 30(6):10-14.
- [15] Fister J I, Yang X S, Fister I, et al. Memetic firefly algorithm for combinatorial optimization [C]// Proceedings of the 5th International Conference on Bioinspired Optimization Methods and Their Applications. Piscataway: IEEE Press, 2012:75-86.
- [16] Shi Y, Eberhart R C. Empirical study of particle swarm optimization [J]. Congress on Evolutionary Computation, 1999, 3(12):32-49.
- [17] Karaboga D. An idea based on bee swarm for numerical optimization [R]. Kayseri, Turkey: Erciyes University, 2005.